

FIG. 1

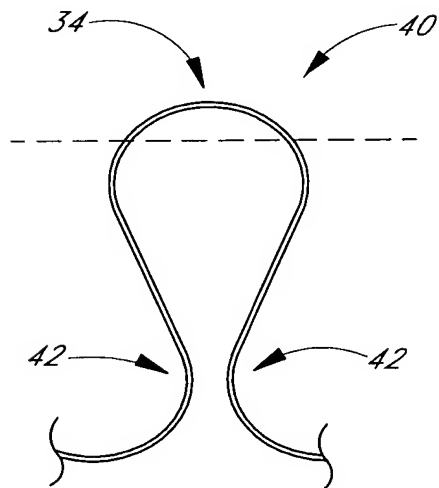


FIG. 2A

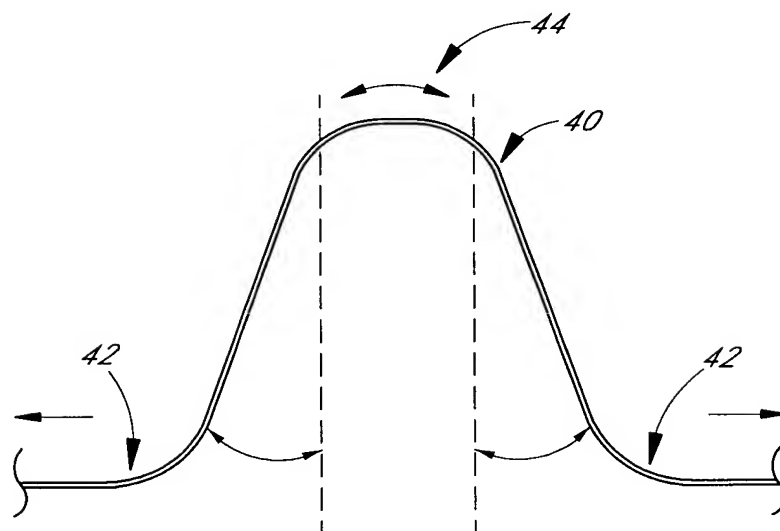


FIG. 2B

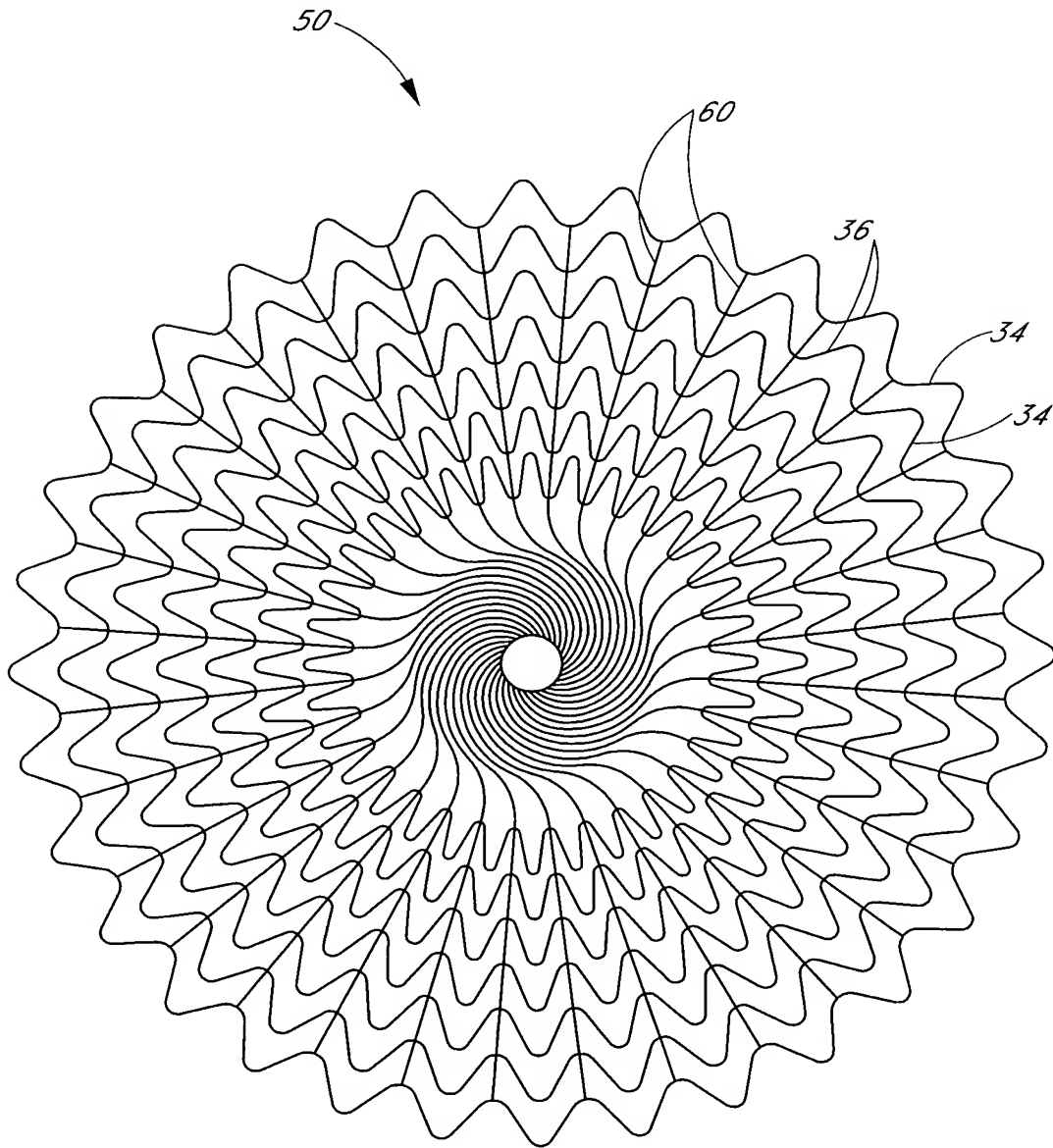


FIG. 3

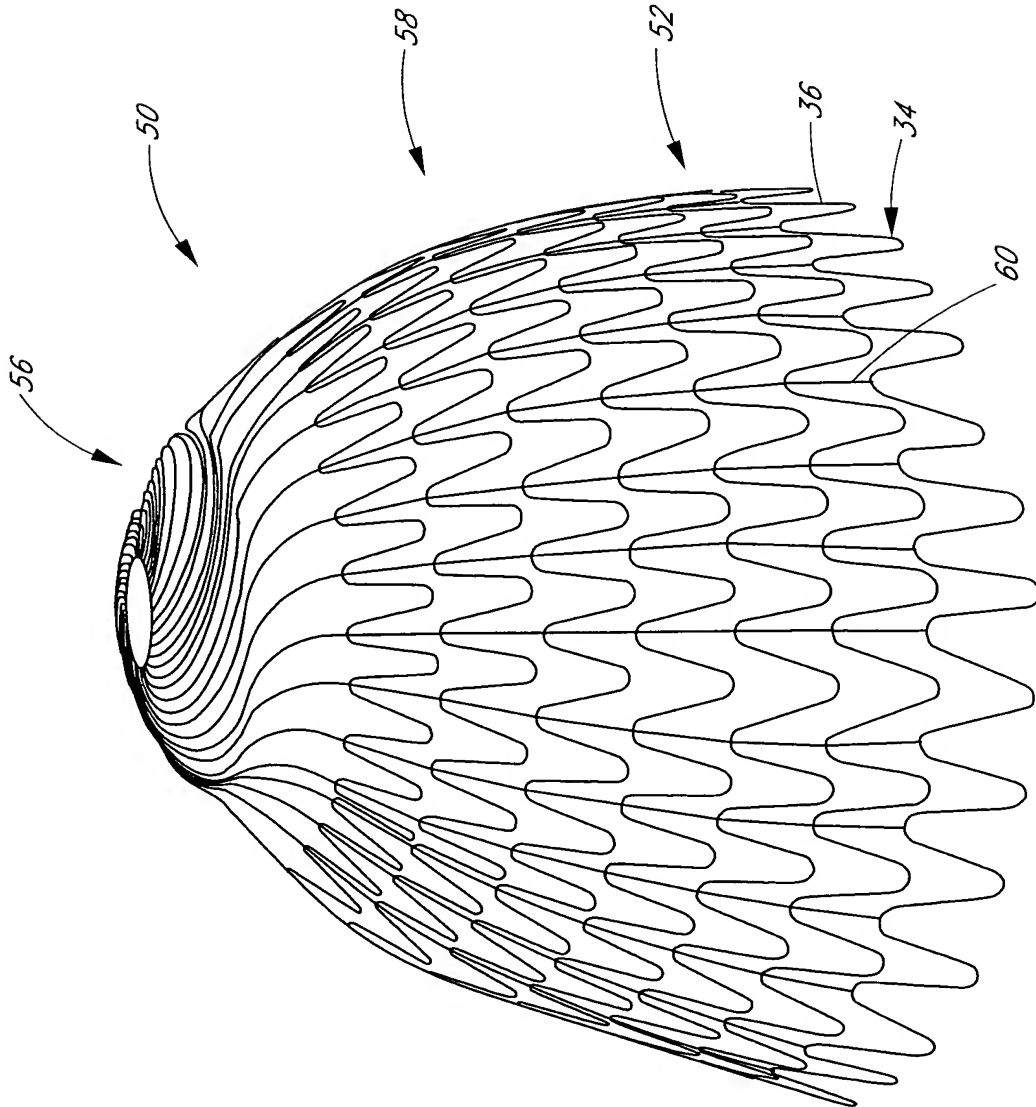


FIG. 4

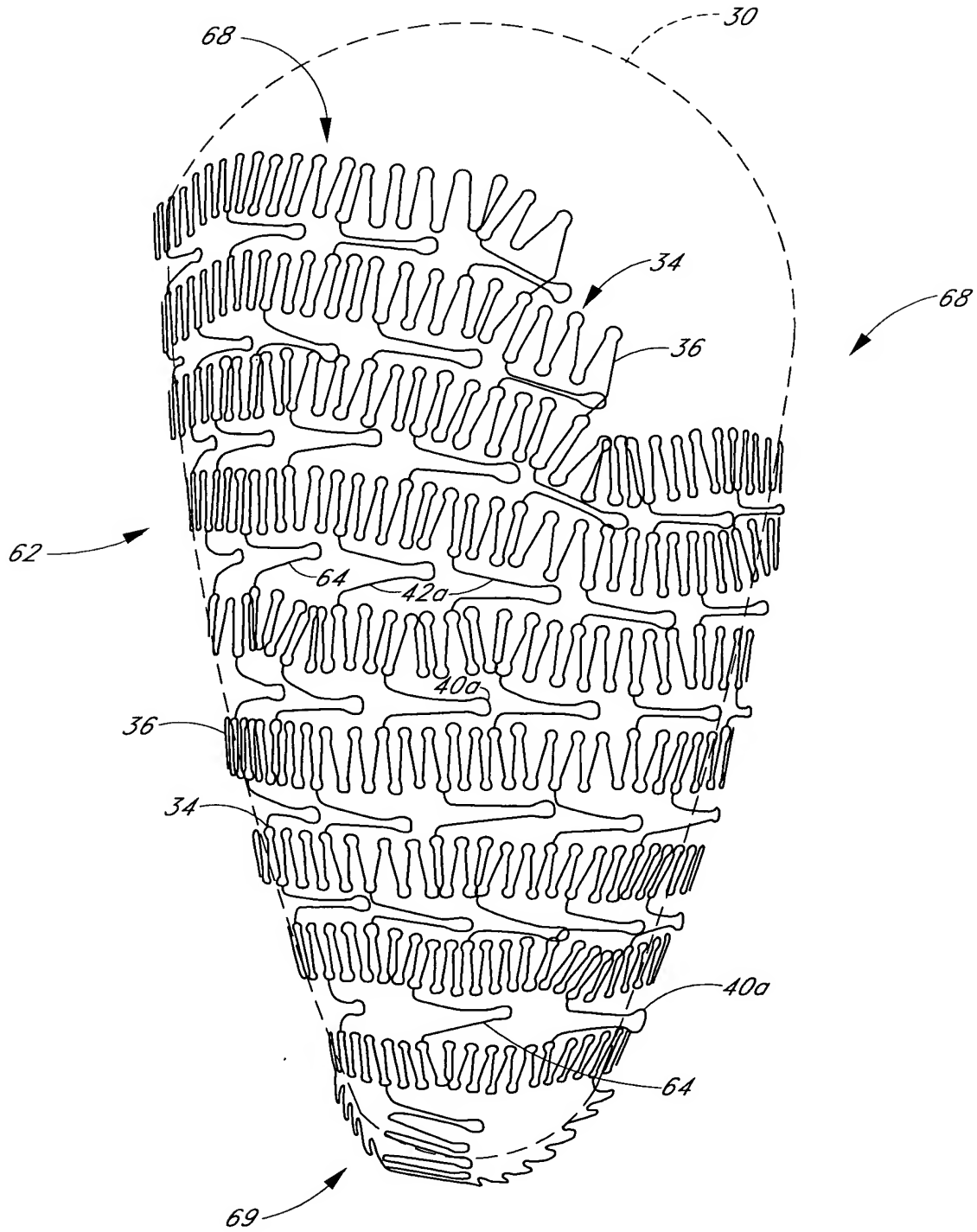
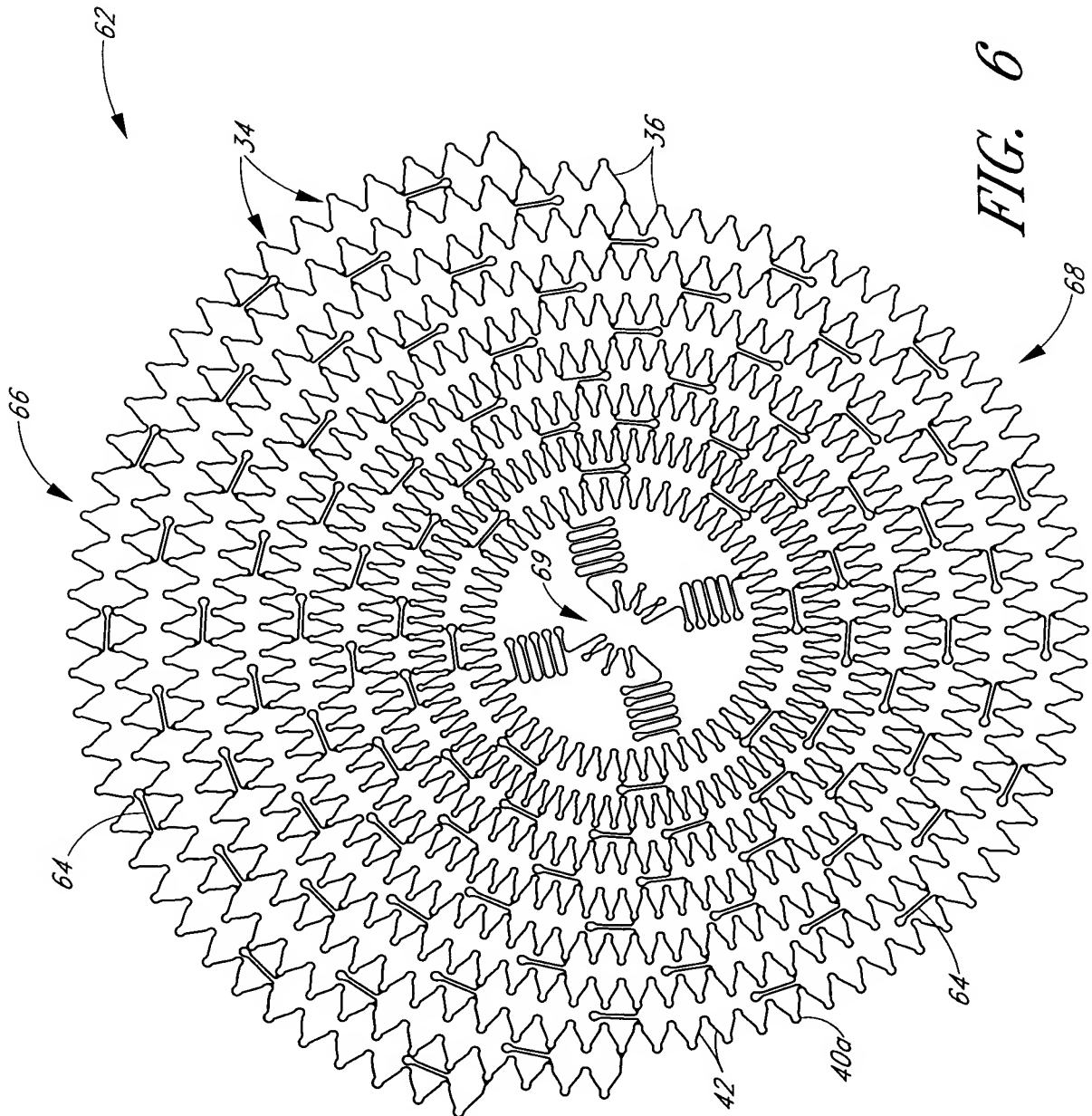


FIG. 5



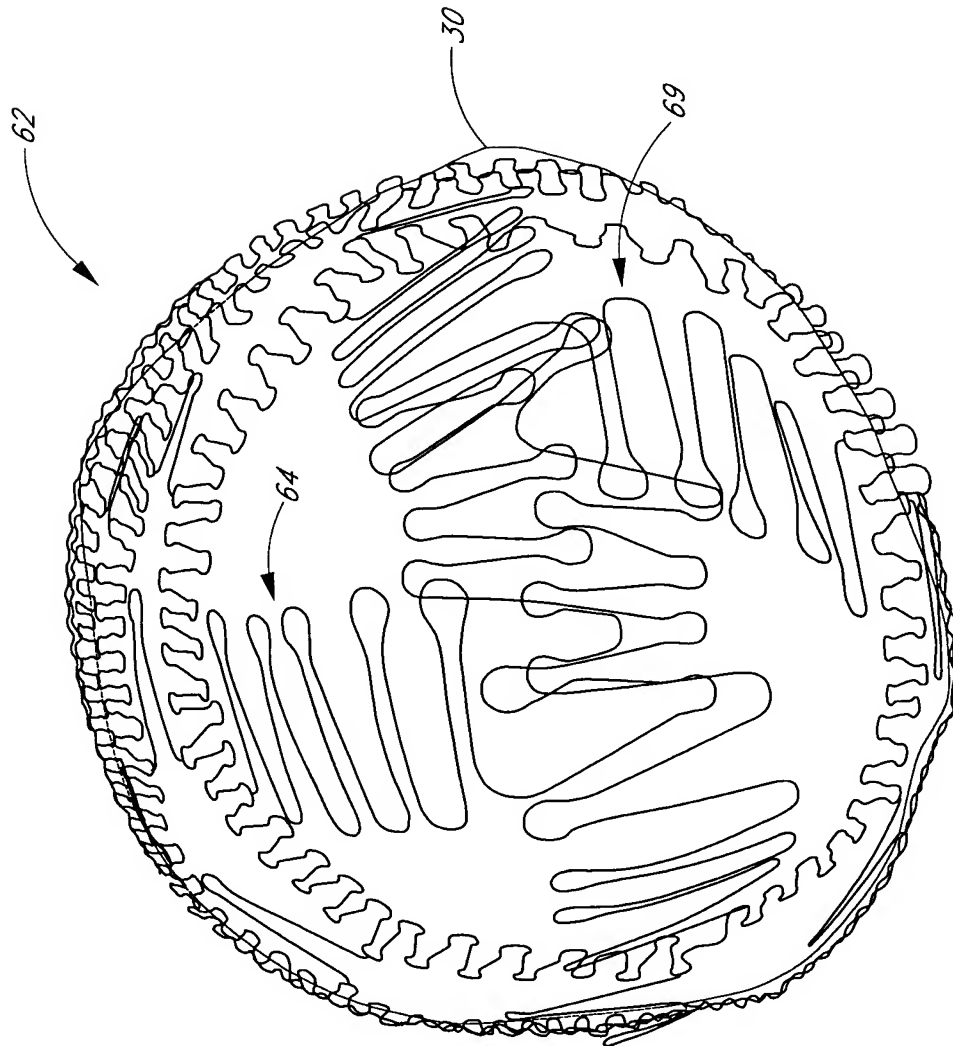
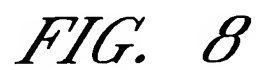


FIG. 7

Lau, et al.

8/30



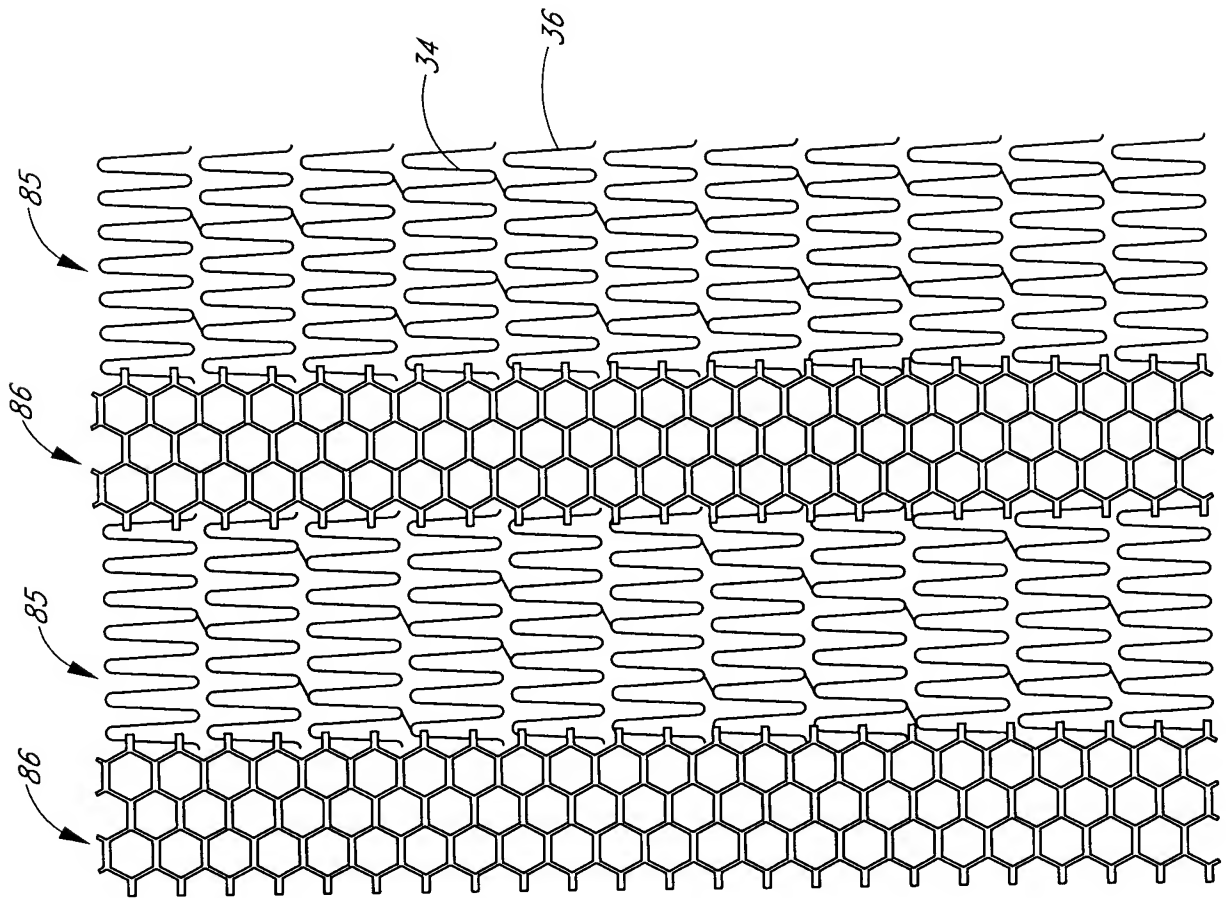


FIG. 9

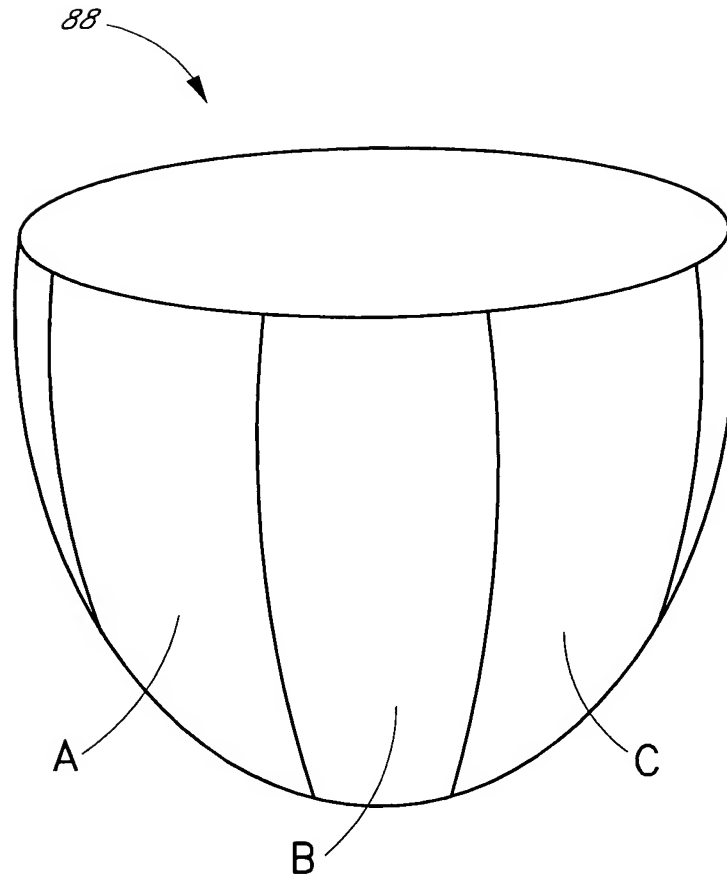
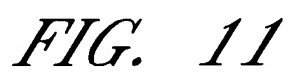


FIG. 10

Lau, et al.

11/30



12/30

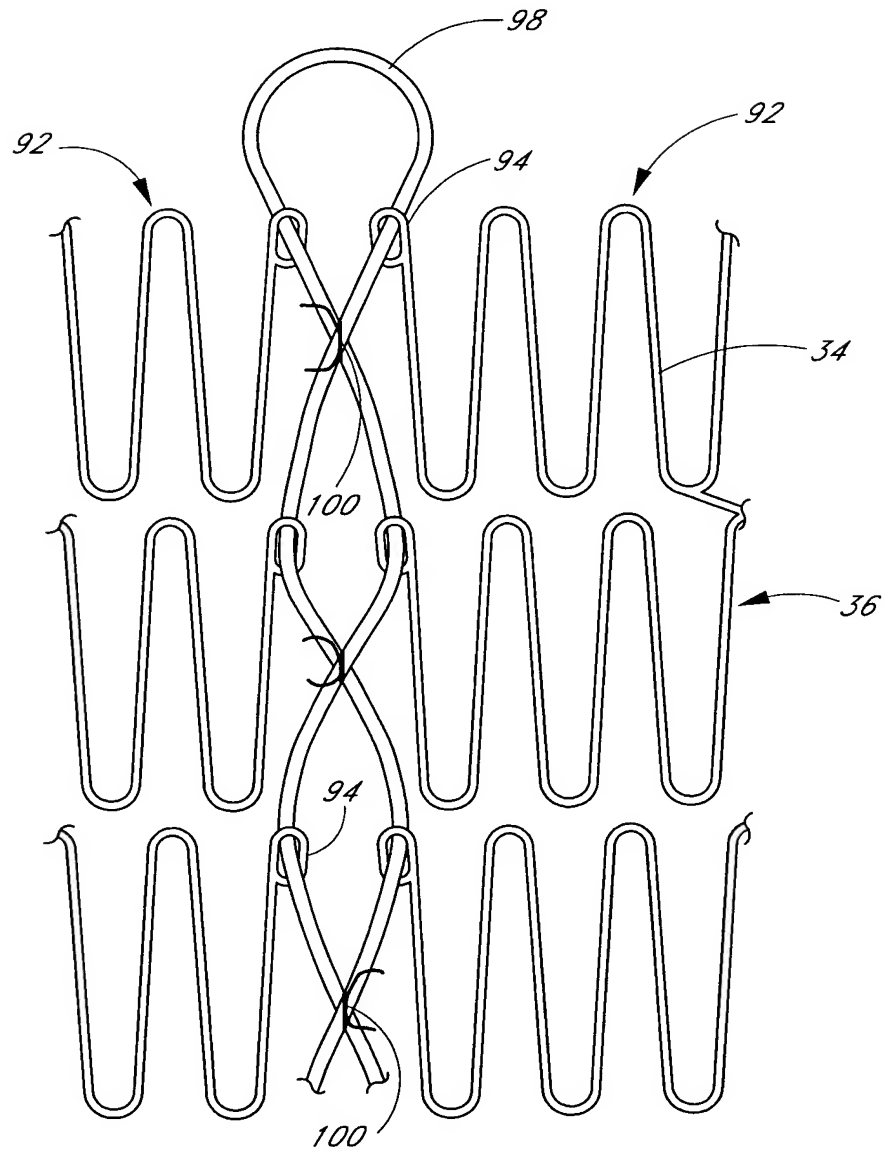


FIG. 12

13/30

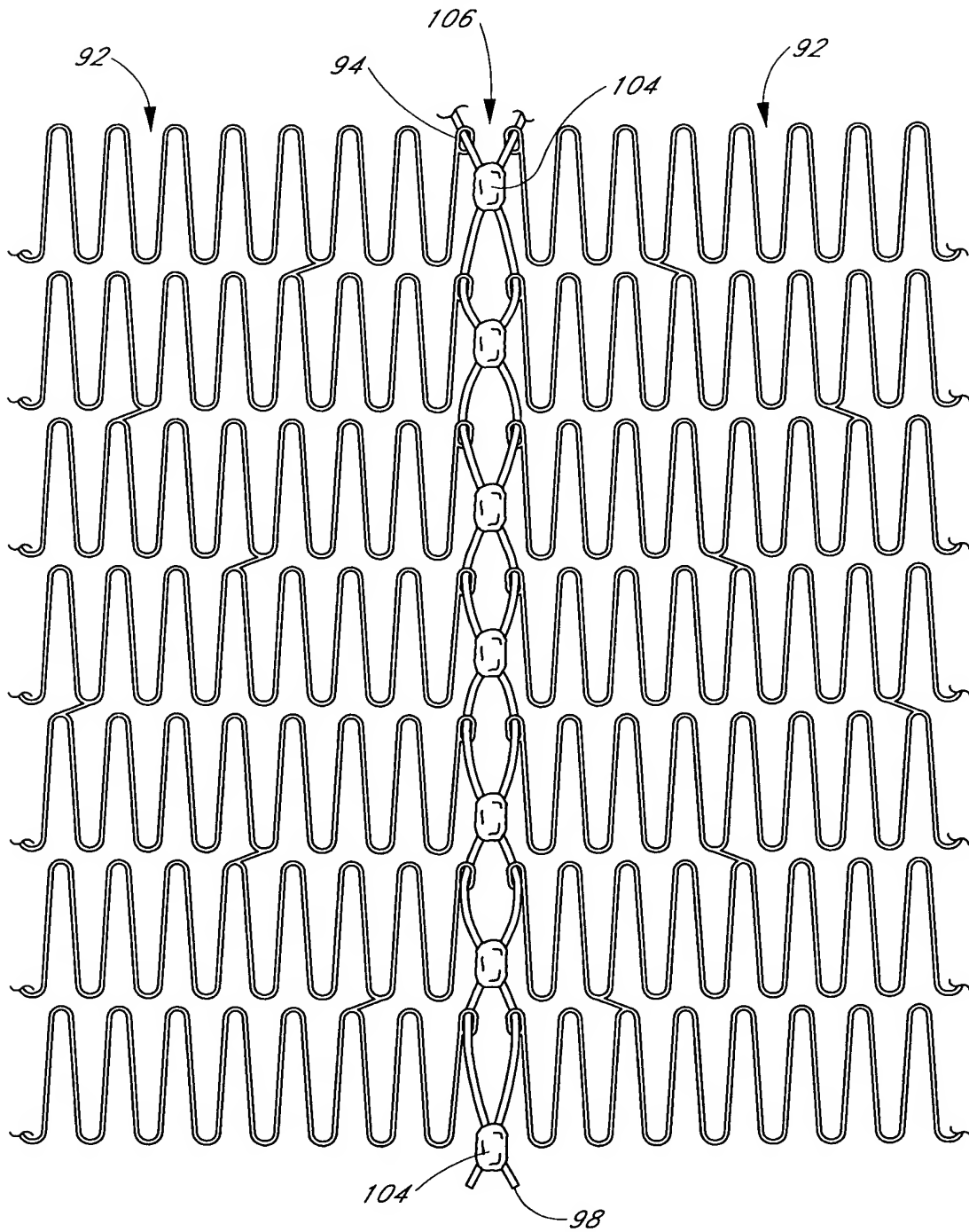


FIG. 13

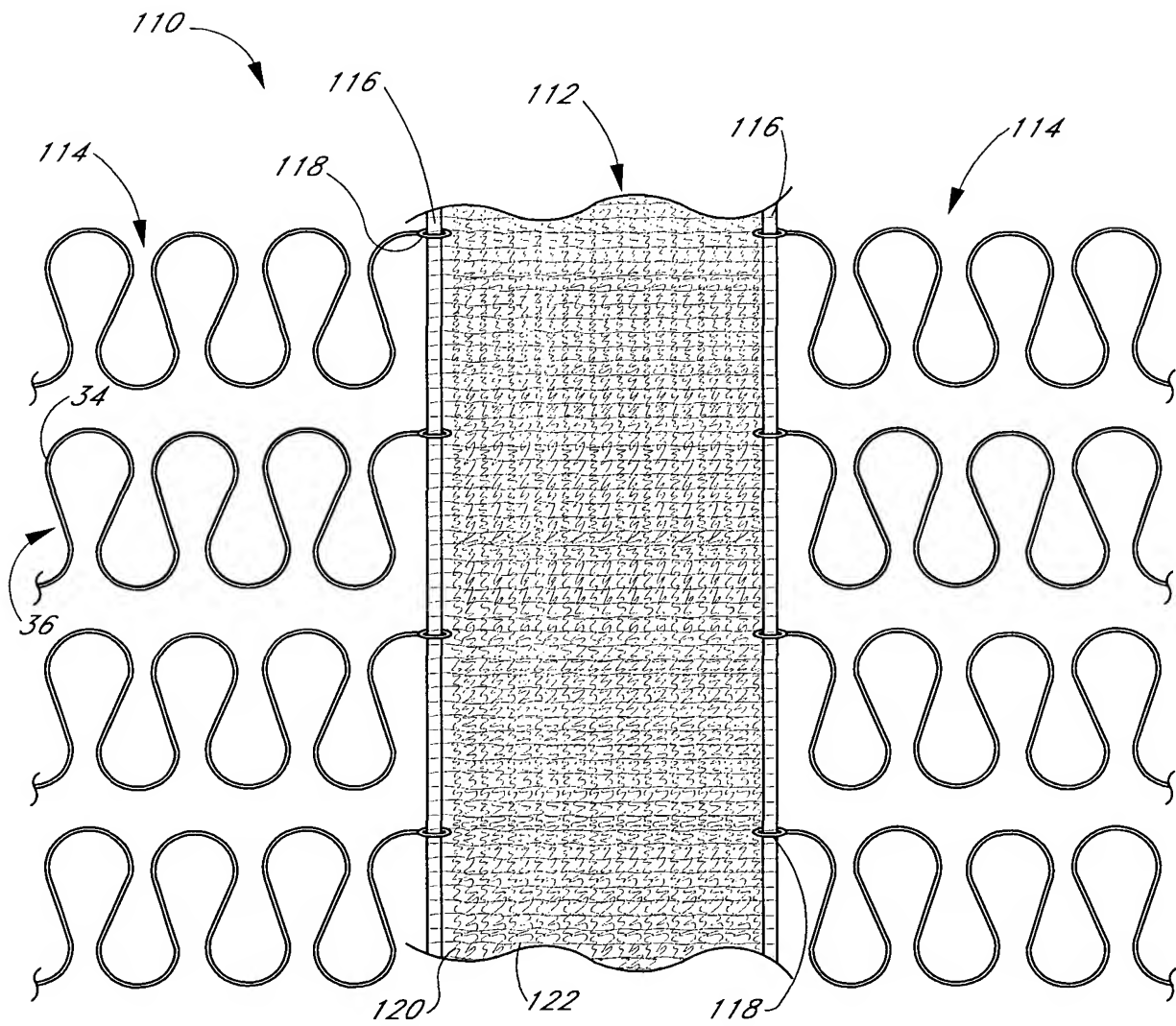


FIG. 14

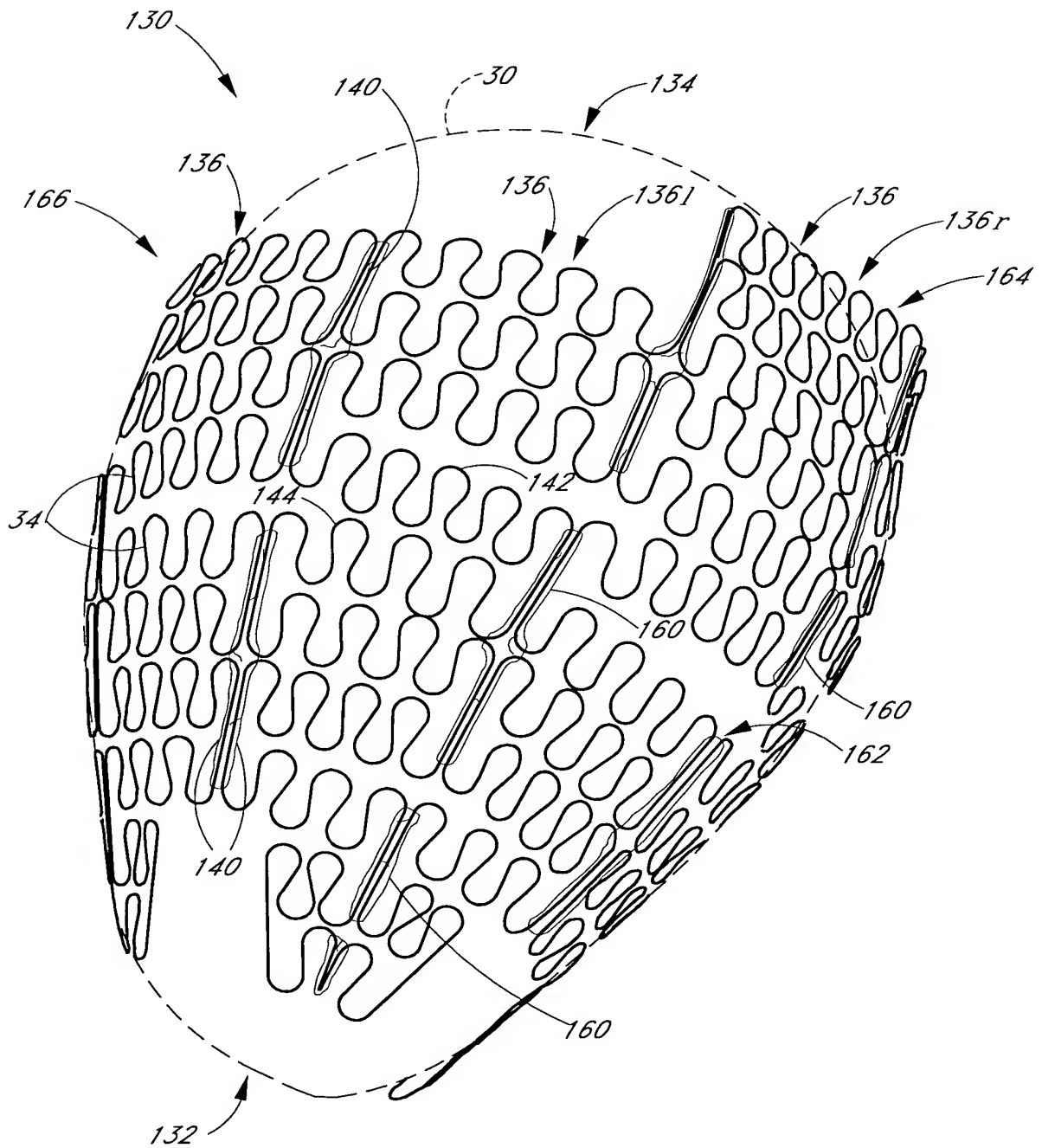


FIG. 15

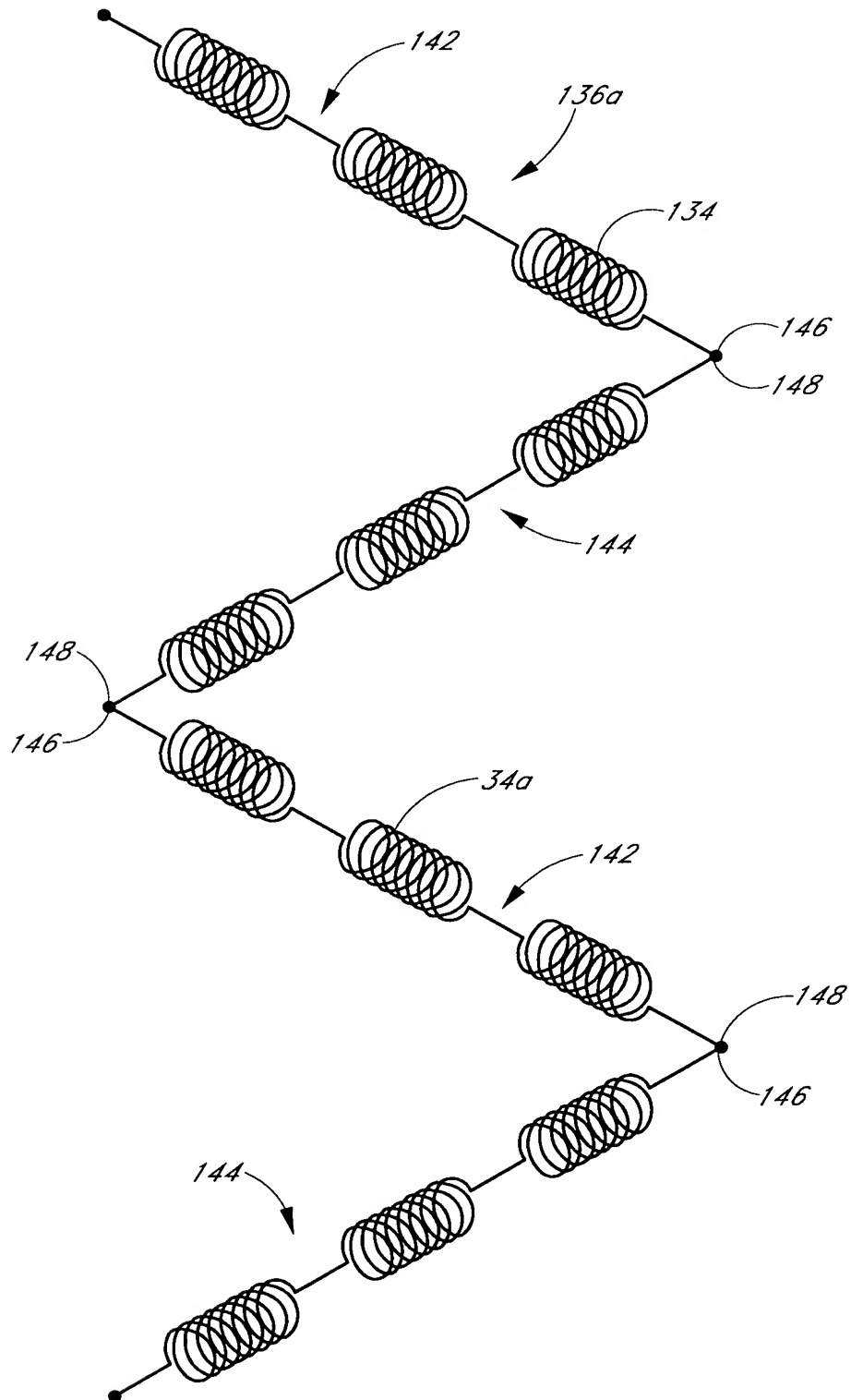


FIG. 16A

17/30

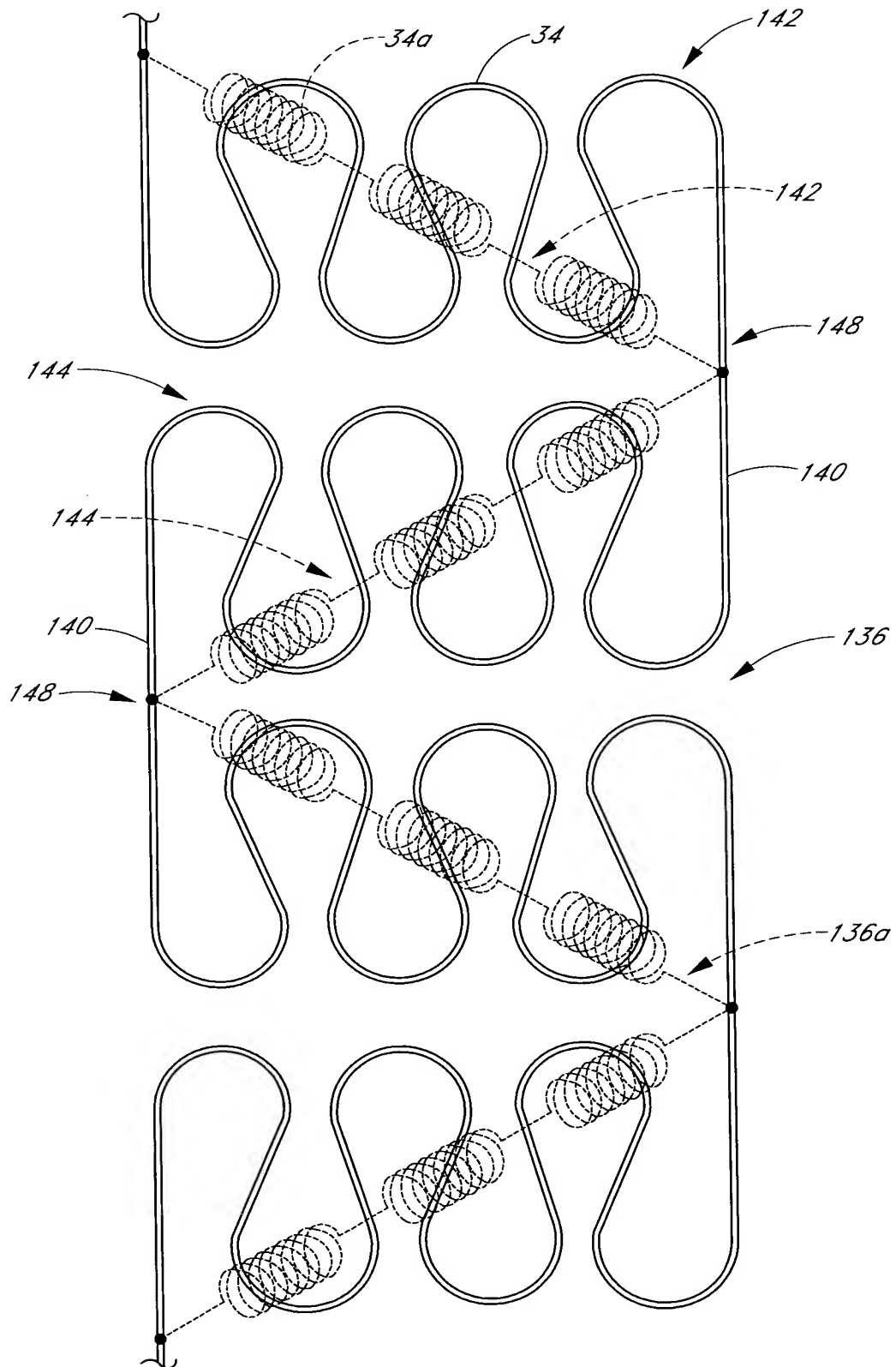


FIG. 16B

18/30

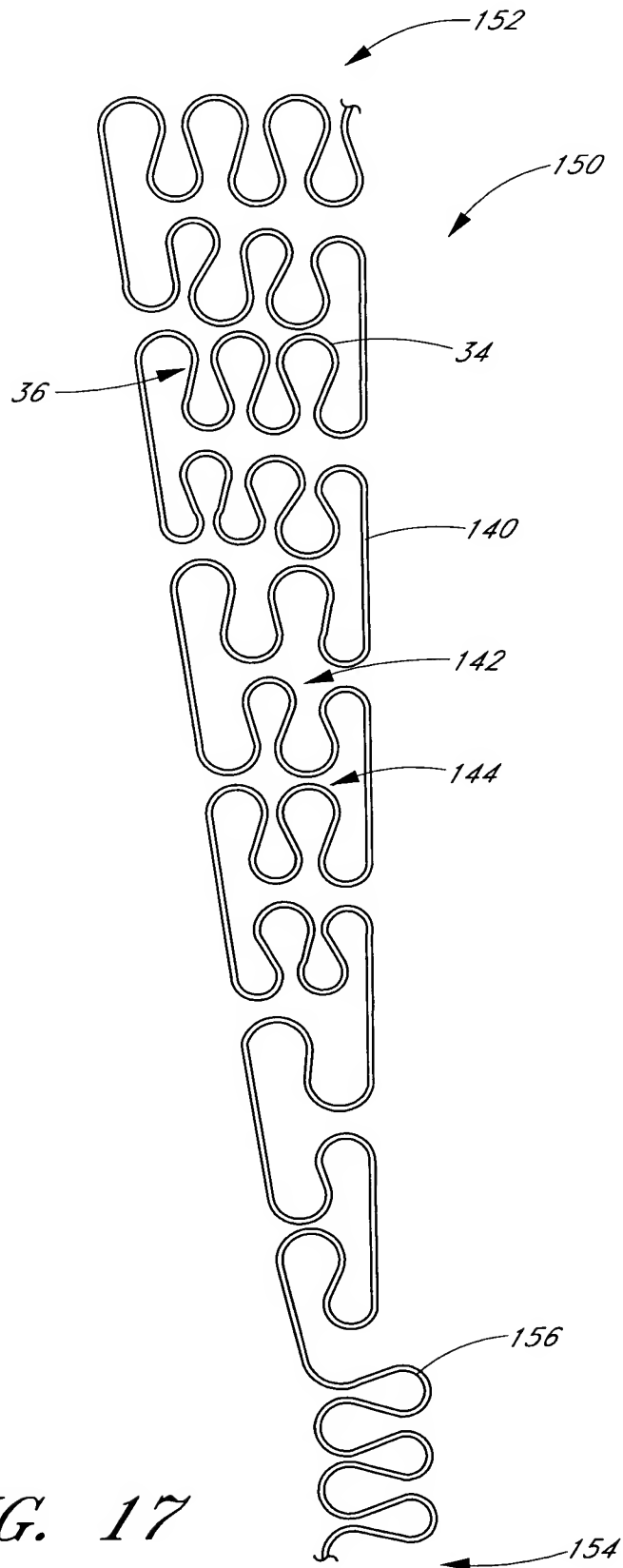


FIG. 17

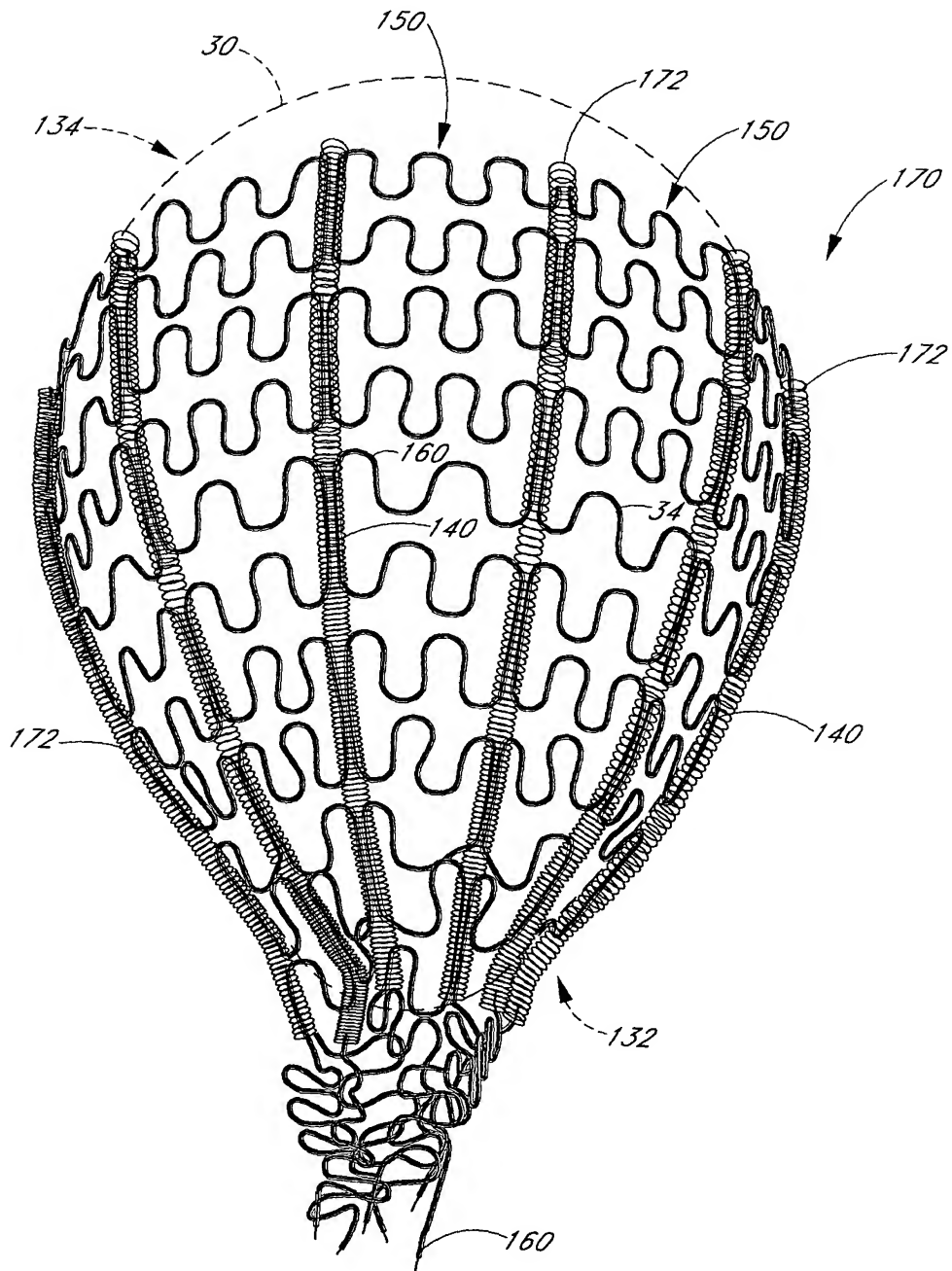
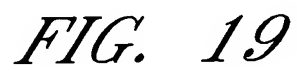


FIG. 18

Lau, et al.

20/30



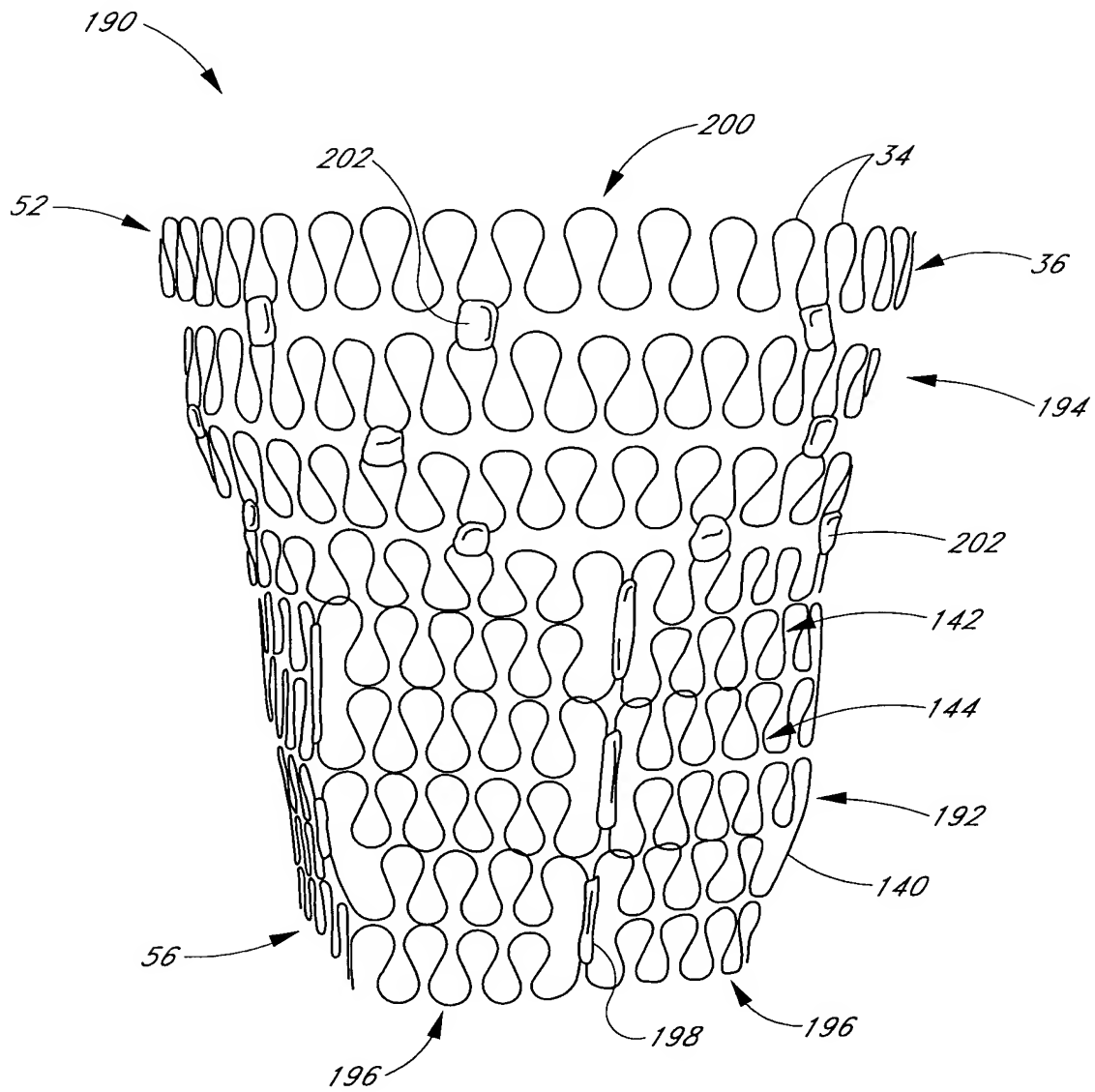


FIG. 20

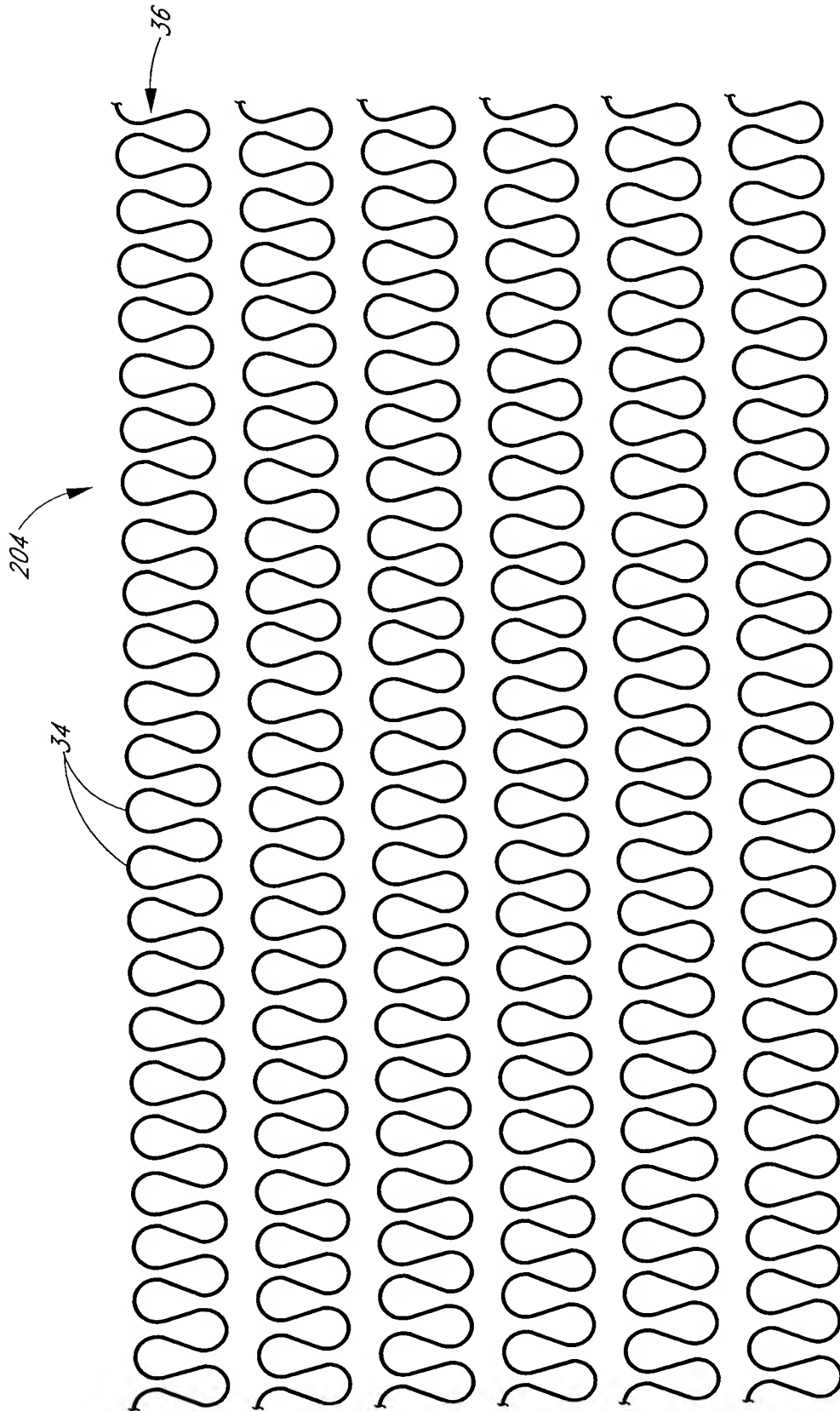


FIG. 21

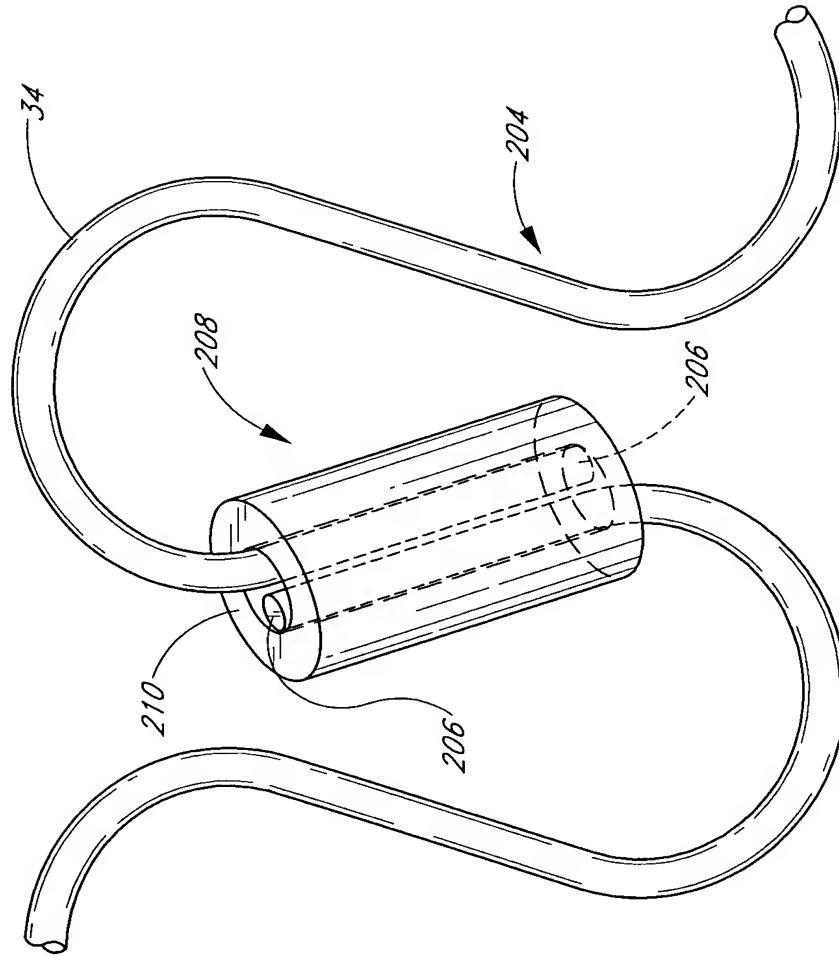


FIG. 22

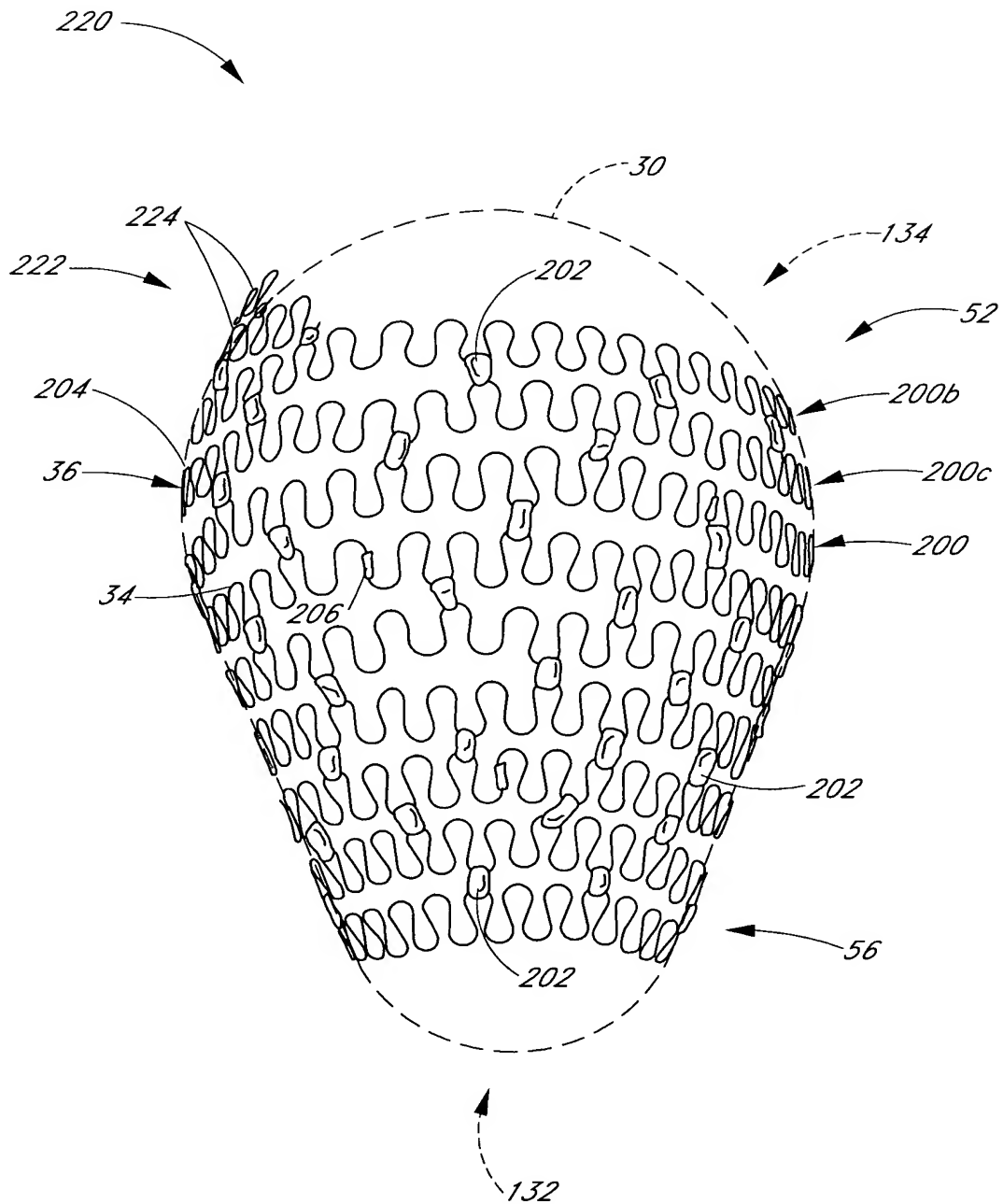


FIG. 23

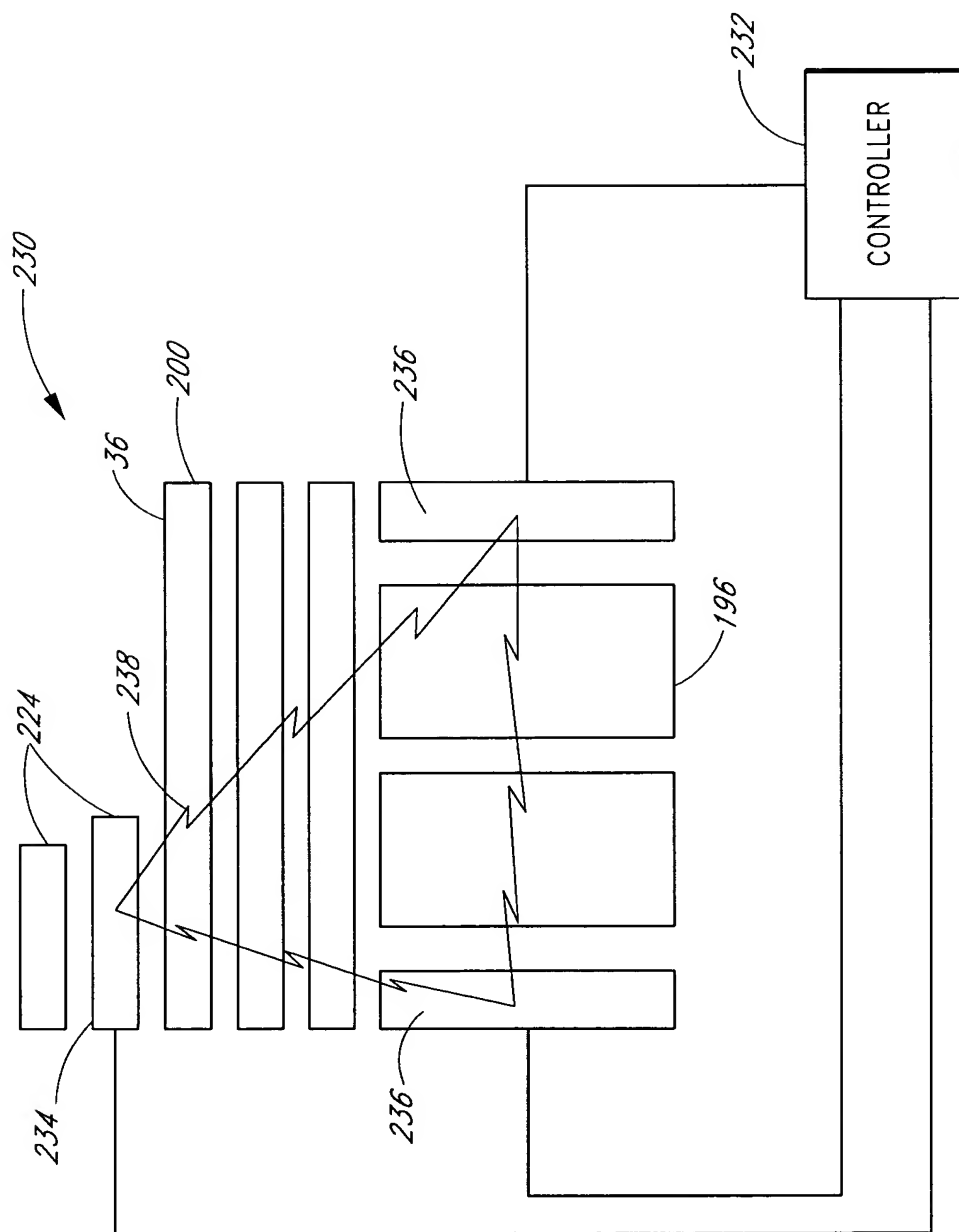


FIG. 24

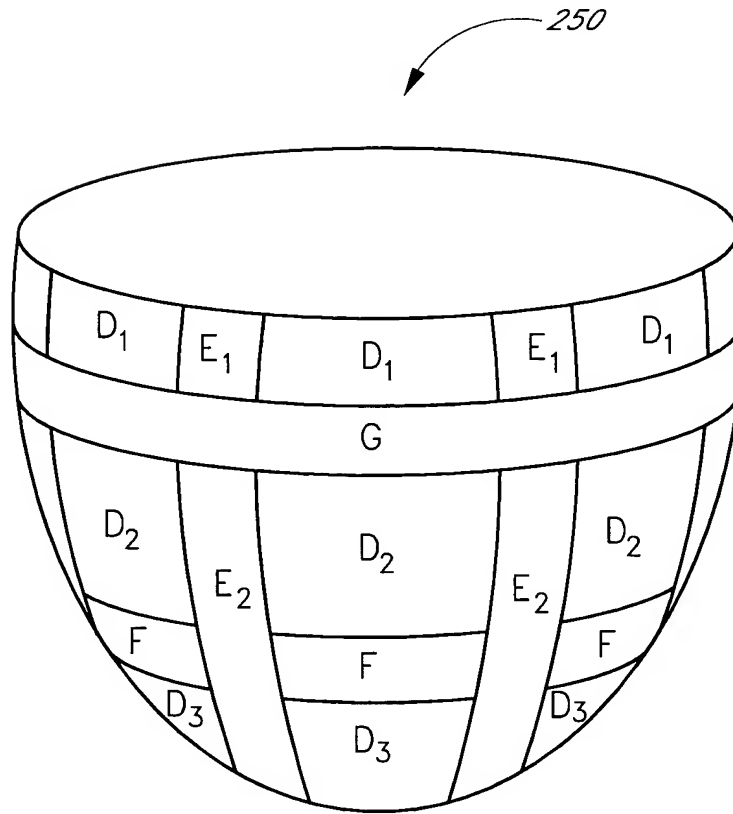


FIG. 25

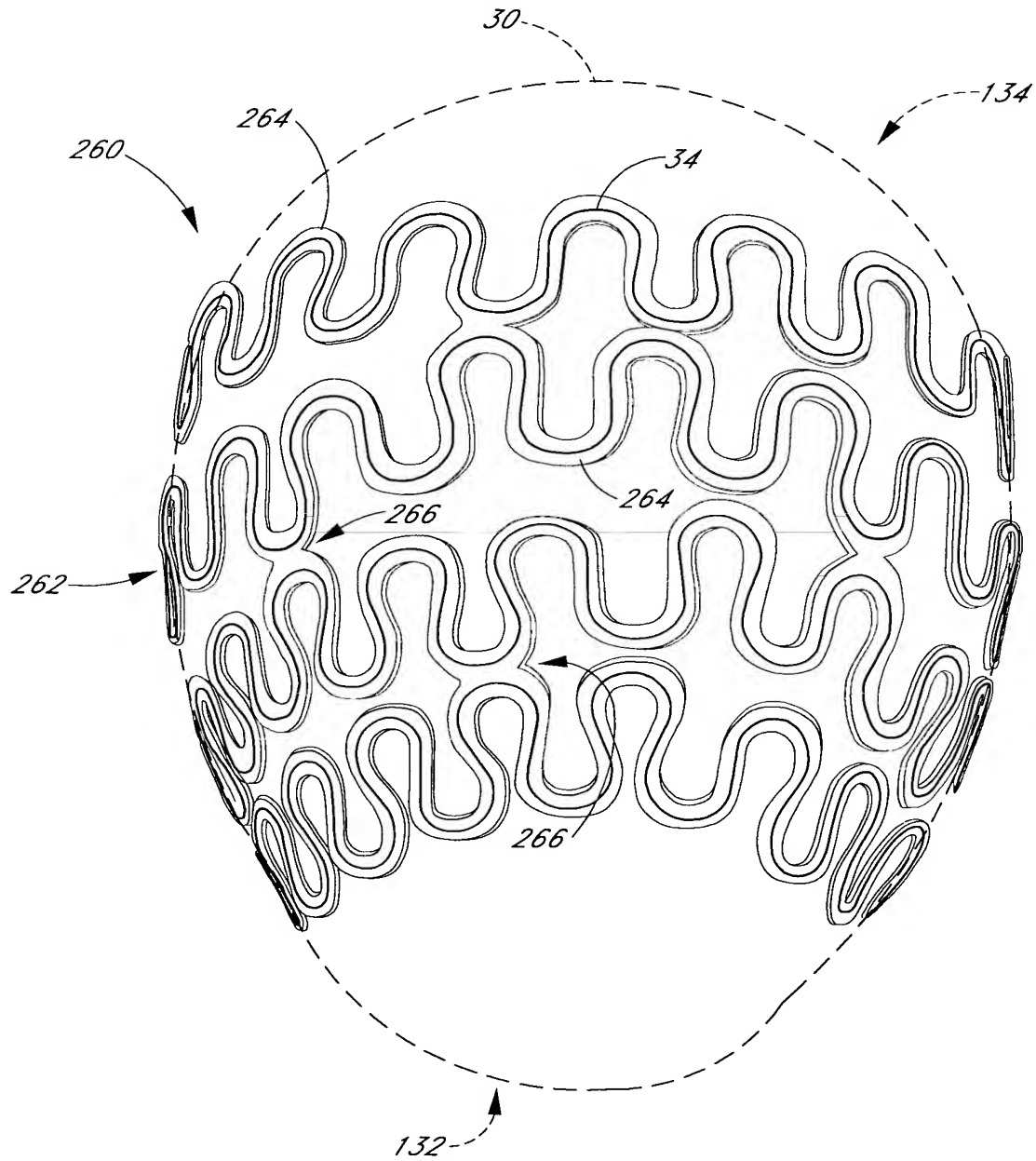


FIG. 26

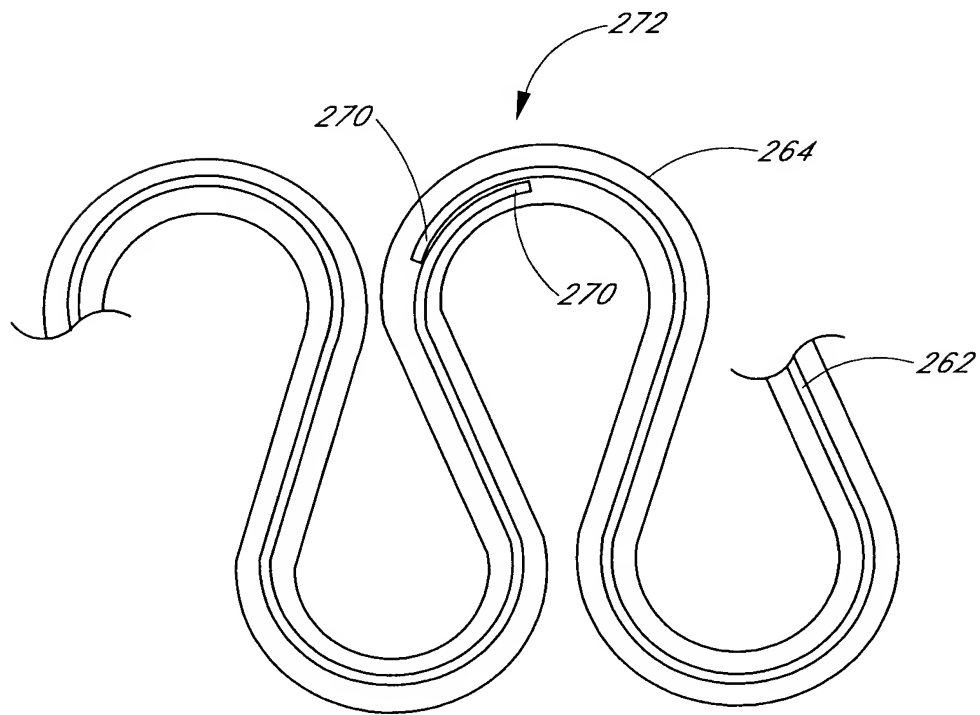
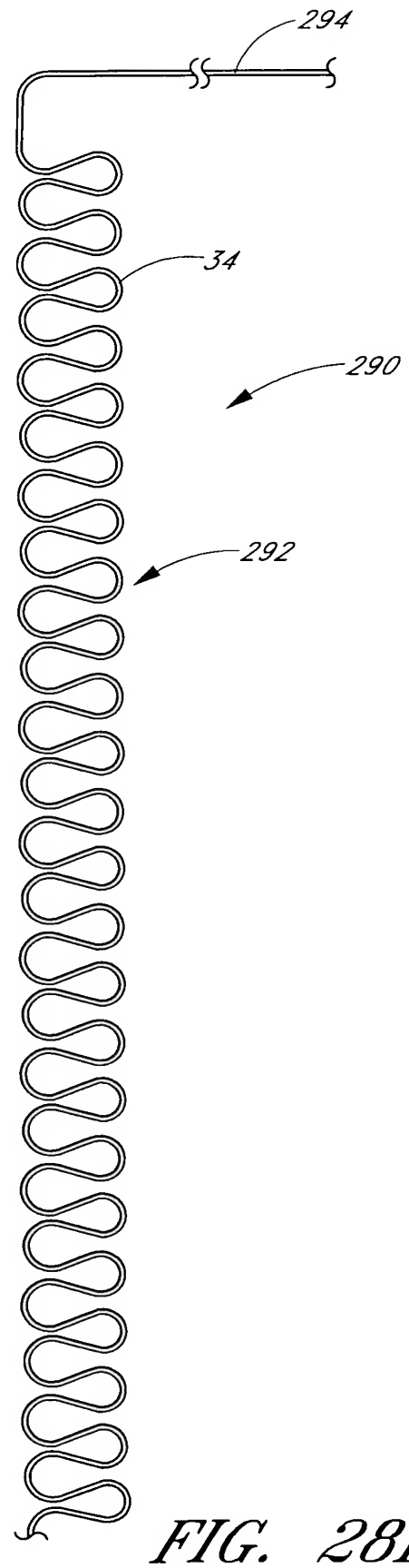
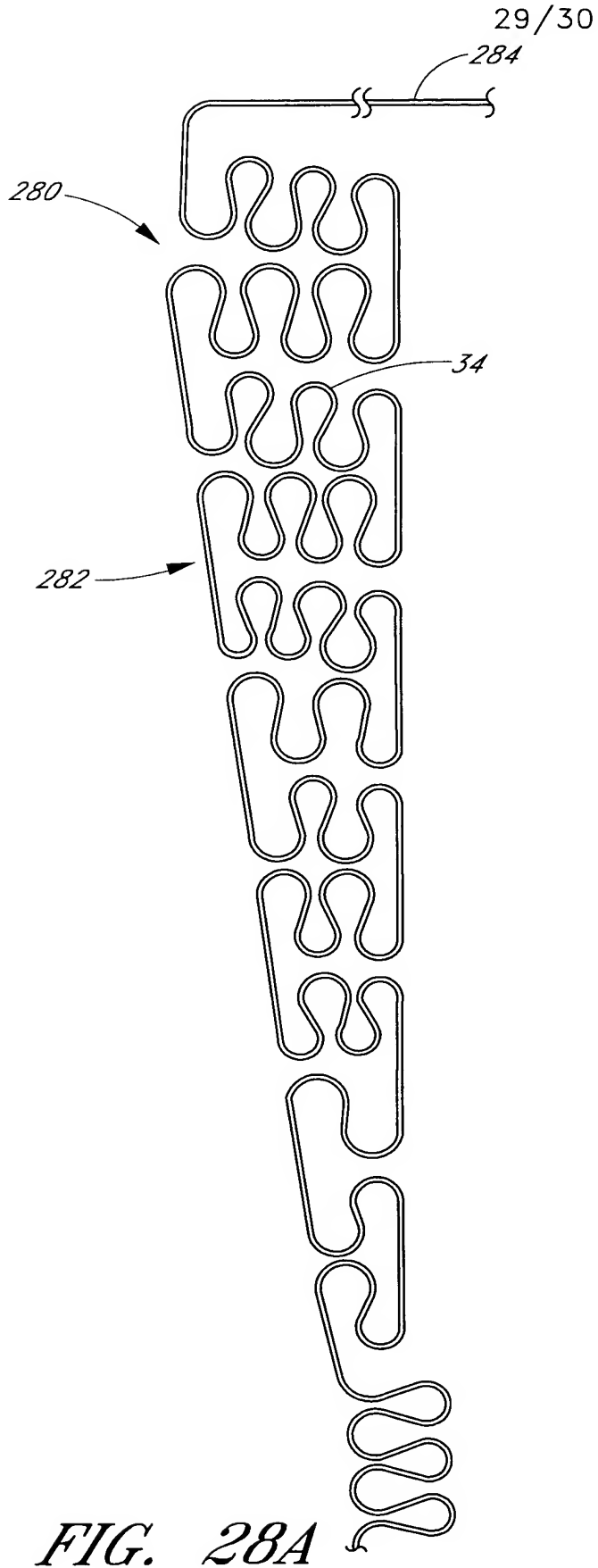


FIG. 27



30/30

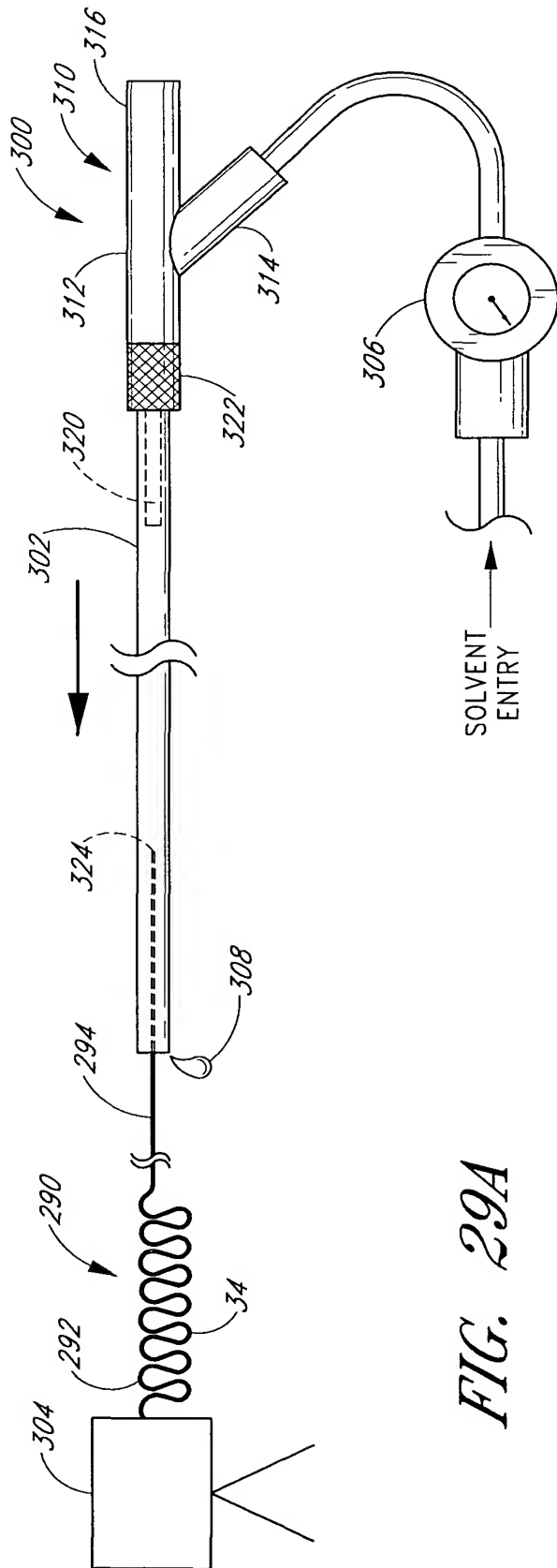


FIG. 29A

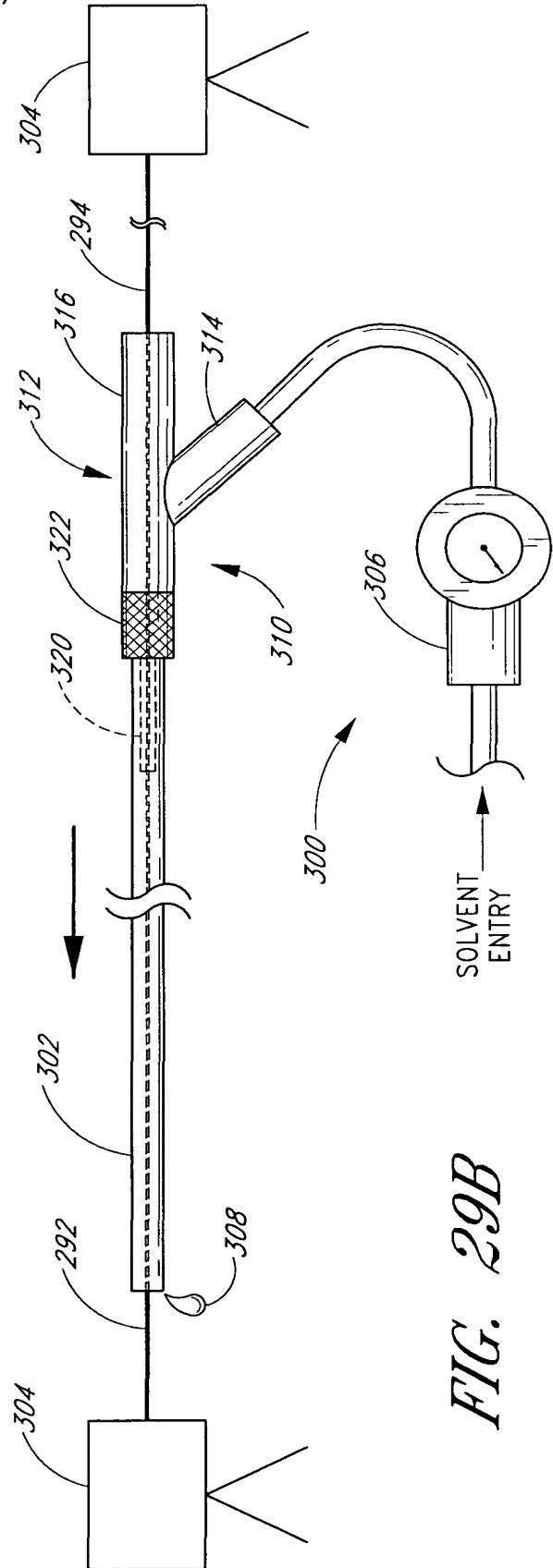


FIG. 29B